情報指向ネットワークにおける ネットワーク障害時のコンテンツ可用性の解析

中村 遼† 上山 憲昭†

†福岡大学工学部

〒814-0180 福岡県福岡市城南区七隈 8-19-1 E-mail: †{r-nakamura,kamiyama}@fukuoka-u.ac.jp

あらまし 近年、データを送受信するホストではなくデータそのものを中心としたネットワークである情報指向ネットワークが注目を浴びている。一般に、情報通信ネットワークのような通信ネットワークは、攻撃や災害に起因するネットワーク障害に対して堅牢であることが求められる。従来のホスト指向ネットワーク (例: TCP/IP ネットワーク)の堅牢性における主な指標は、ネットワーク障害後のネットワークにおけるノード間の到達性などであるが、情報指 の堅牢性における王な指標は、ネットワーク障害核のネットワークにありるノート間の到達性などにあるが、情報相向ネットワークの堅牢性における鍵となる指標はコンテンツ可用性である。しかし、従来のホスト指向ネットワークと比較して、情報指向ネットワークは複雑なネットワークアーキテクチャであるため、情報指向ネットワークにおけるネットワーク障害時のコンテンツ可用性を分析することは容易ではない、本稿では、任意の情報指向ネットワークを対象とし、各ノードの除去率が与えられた時のコンテンツ可用性を解析的に導出する。具体的には、ノードからコンテンツを保有するリポジトリースのアンサーバ、までの経路が単一もしくは複数である場合の、ネットワークの推進されている。 体の平均コンテンツ可用性をそれぞれ解析的に求める。さらに、いくつかの数値評価により、ネットワークの構造や ネットワーク障害のパターン・規模が情報指向ネットワークのコンテンツ可用性に与える影響を調査する。その結果、ネットワーク障害のパターンに依らず、ICN におけるコンテンツキャッシングや複数経路を利用することにより、コンテンツ可用性が大幅に改善されることや、ランダムなノード除去と比較して、クラスタ型ノード除去の方がコンテ ンツ可用性が失われやすいことなどを示す. キーワード 情報指向ネットワーク,コンテンツ可用性,ネットワーク障害,ネットワークの堅牢性,ノード除去

Analysis of Content Availability at Network Failure in Information-Centric Networking

Ryo NAKAMURA[†] and Noriaki KAMIYAMA[†]

† Faculty of Engineering, Fukuoka University 8–19–1 Nanakuma, Jonan, Fukuoka, Fukuoka 814–0180, Japan E-mail: †{r-nakamura,kamiyama}@fukuoka-u.ac.jp

Abstract In recent years, ICN (Information-Centric Networking) has been under the spotlight as a network that mainly focuses on transmitted and received data rather than on the hosts that transmit and receive data. Generally, the communication networks such as the ICN are required to be robust against network failures caused by attacks and disasters. One of the metrics for the robustness of conventional host-centric networks, e.g., the TCP/IP networks, is reachability between nodes in the network after network failures, whereas, the key metric for the robustness of the ICN is content availability. However, because the ICN is a more complicated network architecture compared to conventional host-centric networks, it is not easy to analyze the content availability at network failures in the ICN. In this paper, we focus on an arbitrary ICN network and derive the content availability for a given probability of node removal. Especially, we analytically obtain the average content availability over an entire network in the case that just a single path from a node to a repository, i.e., contents server, storing contents is available and that multiple paths to the repository are available, respectively. Furthermore, through several numerical evaluations, we investigate the effect of the structure of network topology as well as the pattern and scale of the network failures on the content availability in the ICN. Our findings include that, regardless of patterns of network failures, the content availability is significantly improved by caching contents at routers and using multiple paths, and that the content availability is more degraded at cluster-based node removal compared with random node removal.

Key words Information-Centric Networking (ICN), Content Availability, Network Failure, Network Robustness, Node Removal

1 はじめに

近年、データを送受信するホストではなくデータそのもの を中心としたネットワークである情報指向ネットワークが注 を中心としたイットソーシ とめる 同刊 和 同刊 インドン スルロ目を浴びている [1]. 情報指向ネットワークを実現する代表的なネットワークアーキテクチャとして、CCN (Content-Centric Networking) [2] や NDN (Named Data Networking) [3] が存在す る. CCN や NDN などの情報指向ネットワークでは、ネットワーク中のルータは転送したデータを自身のバッファメモリ に一時的に保持できるため、利用者はリポジトリ (コンテンツ サーバ) だけでなくルータからもデータを取得することができ る. このため、情報指向ネットワークでは、コンテンツ配送遅延の短縮やコンテンツ可用性の向上などが期待されている.

一般に、情報指向ネットワークのような通信ネットワークは、攻撃や災害に起因するネットワーク障害に対して堅牢であることが求められる。ネットワーク障害が発生したとしても、ネットワークである。 トワークの機能が容易に失なわれないように、事前に堅牢な

ネットワークを設計する必要がある.また、ネットワーク障害 により、一部のルータやリンクが利用できない状況になった場合には、正常に動作しているネットワーク内でその機能を維持 する必要がある.

従来のホスト指向ネットワーク (例: TCP/IP ネットワーク) の 堅牢性における主な指標は、ネットワーク障害後のネットワークにおけるノード間の到達性などであるが、情報指向ネット ワークの堅牢性における鍵となる指標はコンテンツ可用性であ る. 情報指向ネットワークはキャッシュネットワークの一種であるため、ネットワーク障害によりネットワークが分断された 場合にも、利用者は正常に稼動しているルータからコンテン ツを取得できる. 従って,情報指向ネットワークでは,ネットワーク障害後にネットワークがどの程度接続されているかでは なく, コンテンツをどの程度取得できるかが重要な指標となる.

しかし、従来のホスト指向ネットワークと比較して、情報指向ネットワークは複雑なネットワークアーキテクチャであるた め、情報指向ネットワークにおけるネットワーク障害時のコン

テンツ可用性を分析することは容易ではない. 例えば,シミュレーションでは,情報指向ネットワークにおけるコンテンツ配送の挙動だけでなくネットワーク障害の挙動をシミュレートする必要がある. ネットワーク障害時のコンテンツ可用性を分析するためには,様々な条件(例:ネットワークトポロジやネットワーク障害のパターン・規模)の組み合わせを変化させながら実験を行う必要があるため,膨大な計算量が必要となることが予想される.

これまで、数学的解析により、情報指向ネットワークにおけるネットワーク障害時のコンテンツ可用性が分析されている[4],[5]. 具体的には、小規模なネットワークトポロジや中規模な階層型トポロジを対象とし、ネットワーク中のリンク除去率を等しく変化させた時のコンテンツ可用性が明らかにされている.

ただし、上述した従来研究で対象とされているネットワークやネットワーク障害のパターンが限定的であり、情報指向ネットワークにおけるネットワーク障害時のコンテンツ可用性は十分に理解されていない。ネットワークの堅牢性に関する従来研究では、ネットワークトポロジやネットワーク障害のパターンなどの要因がネットワークの堅牢性に大きな影響を与えることが知られている。このため、これらの要因と情報指向ネットワーク固有の要因を考慮した上で、ネットワーク障害時のコンテンツ可用性を分析する必要がある。

本稿では、任意の情報指向ネットワークを対象とし、各ノードの除去率が与えられた時のコンテンツ可用性を解析的に導出する.具体的には、文献 [4] の解析手法を拡張することにより、ノードからコンテンツを保有するリポジトリまでの経路が単一もしくは複数である場合の、ネットワーク全体の平均コンテンツ可用性をそれぞれ求める。さらに、いくつかの数値評価により、ネットワークの構造やネットワーク障害のパターン・規模が情報指向ネットワークのコンテンツ可用性に与える影響を調査する.

本稿の構成は以下の通りである。まず2節では、情報指向ネットワークを含めたネットワークの堅牢性に関する従来研究を紹介する。3節では、情報指向ネットワークにおけるネットワーク障害時のコンテンツ可用性を導出する。4節では、ネットワークの構造やネットワーク障害のパターン・規模やを様々に変化させた時の、情報指向ネットワークにおけるコンテンツ可用性を分析する。最後に5節では、本稿のまとめと今後の課題を述べる。

2 関連研究

ネットワークの堅牢性は、グラフ理論およびネットワーク科学の分野において精力的に研究されている。これらの研究は、ネットワーク中のノードやリンクの除去に対して、ネットワークの接続性がどのように失われるかを数理的もしくは実験的に調査している。

ネットワーク科学では、ネットワークトポロジが有するスケールフリー性がネットワークの堅牢性に与える影響が議論されている [6],[7]. 文献 [6] は、ネットワーク中の一定割合のノードを除去した時の、ネットワークの直径や最大連結成分の大きさを求めている。その結果、ランダムネットワークと比較して、スケールフリーネットワークは、ランダムなノード除去に対しては堅牢であるが、恣意的な攻撃に対しては脆弱であることが示されている。また、文献 [7] は、次数や媒介中心性系表で、支がいて、ノードやリンクをランダムに除去した時の、ランダムネットワークやスケールフリーネットワークの堅牢性を調査している。分析に用いられたネットワークの中では、トポロジ構造に偏りの小さいランダムネットワークが恣意的な攻撃に対して最も堅牢であることが報告されている。

近年では、情報指向ネットワークの堅牢性を明らかにする研究もはじまっており、ネットワーク障害時のコンテンツ可用性が分析されている [4],[5]. 文献 [4] では、任意の情報指向ネットワークを対象とし、リンクの故障率が与えられた時のコンテンツ可用性を導出している。数値例により、情報指向ネットワークにおけるコンテンツキャッシングによって、要求頻度のいコンテンツに対する可用性が改善されることが示されている。文献 [5] では、リンクの故障率が与えられた時の、階層型ネットワークトポロジにおいて、リンクの故障率を変化させた時のコンテンツ可用性を求めるキッンクの故障率を変化させた時のコンテンツ可用性を求めるととにより、リンクの故障率が大きい場合には、コンテンツさにより、リンクの故障率が大きい場合には、コンテンツさにより、リンクの故障本が大きい場合には、コンテンツさにより、リンクの故障本が大きい場合には、ネットワーク障害が発生した時点のコンテンツ可用性に着目している。とが示されている。ただし、これらの研究では、ネットワーク障害が発生した時点のコンテンツ可用性に着目している。トワーク障害によりネットワーク中の経路が分断されたとして

も、ルーティングプロトコル (例: NLSR: Named-data Link State Routing Protocol [8]) により探索された代替経路を利用することで、リポジトリへの経路に対する到達性が回復する場合がある。そこで、本稿では、単一の経路だけではなく複数の経路が与えられた時のコンテンツ可用性を導出することで、ネットワーク障害後のルーティングプロトコルによる挙動を考慮したコンテンツ可用性の分析を行う.

さらに、情報指向ネットワークにおけるネットワーク障害時のコンテンツ可用性の分析だけでなく、ネットワーク障害により可用性が損失したコンテンツに対する可用性を回復させるションテンツに対する可用性を回復させるションの可用性が損失したコンテンツに対する可用性を必要などにより到望に大力を適切に対してが失われた場合に、要求パケットのルーティングを適切に利力を適けでは、りポジトリが保持していることで、利用者によるコンテンツの取得が可能となる手法が提案している。また、文献[10]では、リポジトリが保持しているコンテンツの可用性が失われた場合には、、複製をオリシールに昇格させ、当該ルーティングテーブルを更対よる法を大力に、ルータにおけるルーティングテーブルを更対に対している。提案手法によって、可用性損失コンテンツにより示されている。

3 解 析

本節では、任意の情報指向ネットワークの性能解析 [4] を拡張し、情報指向ネットワークにおけるネットワーク障害時のコンテンツ可用性を導出する。解析モデルなどの詳細は文献 [4] を参照されたい。

3.1 ネットワークモデル

複数のルータおよび複数のリポジトリから構成される情報指向ネットワークを無向グラフG=(V,E)と表記する。以降では、ルータおよびリポジトリを単にノードと呼ぶ。

ネットワーク中に存在するコンテンツ集合をCと表記する。また,全てのノードにおけるキャッシュサイズを等しくBと表記する。ノードには一台のエンティティ (要求者) が直接接続されており,ノードvに接続されているエンティティはコンテンツ $c \in C$ に対する要求レート $\lambda_{c,v}$ に従って,コンテンツ取得要求を繰り返し送出するものとする。

ノードvからコンテンツcを保有するリポジトリ s_c までのK本の経路から構成される経路候補を \mathcal{P}_v^c と表記する. 経路候補におけるk番目の経路を $\mathcal{P}_v^c[k]$ と表記し,要素番号の順に従って,経路が優先的に使用されるものとする. 特に断りのない限り,デフォルトの経路として,1番目の経路 $\mathcal{P}_v^c[1]$ を形成するように,各ノードにおけるルーティングテーブル(CCN [2]や NDN [3] における FIB (Forwarding Information Base)) が適切に設定されているものとする. 経路 $P \in \mathcal{P}_v^c$ に対して,P[n] は経路Pにおけるn番目のノードを表す. 経路候補に含まれるいずれの経路においても,P[1] はノードvであり,P[|P|] はリポジトリ s_c である.また,[P] は経路の大きさ (つまり,経路を構成するノード数) である.

本稿では、ノード除去を対象とし、ネットワーク障害により、 ノード v がネットワークから除去される確率 (ノード除去率) を r_v と表記する。ただし、リポジトリはネットワーク障害による ノード除去の対象外とみなし、 $r_c=0$ とする。

ノード除去の対象外とみなし、 $r_{sc}=0$ とする. 本稿では、リンクにおける通信帯域は十分大きいものとし、ノードにおけるバッファあふれによる要求/応答パケットの損失は発生しないと仮定する.

3.2 コンテンツ可用性

まず,情報指向ネットワークにおけるネットワーク障害時のコンテンツ可用性を定式化する.ネットワーク全体の平均コンテンツ可用性を A と表記する.また,ノードv におけるコンテンツc に対する可用性を A_c^c と表記する.以降の 3.3 節および 3.4 節において,単一の経路が与えられた場合 (K=1) のコンテンツ可用性と,複数の経路が与えられた場合 $(K\geq 2)$ のコンテンツ可用性をそれぞれ導出する.

ノードvにおけるコンテンツ可用性 A_v は,ノードv におけるコンテンツ c に対する要求レート $\lambda_{c,v}$ と,ノードv におけるコンテンツ c に対する可用性 A_v^c の重み付き平均により与えられる [4].

$$A_v = \sum_{c \in \mathcal{C}} \frac{\lambda_{c,v} A_v^c}{\sum_{c' \in \mathcal{C}} \lambda_{c',v}} \tag{1}$$

従って、ネットワーク全体の平均コンテンツ可用性 A は、ノード数 N(=|V|) を用いて、

$$A = \frac{\sum_{v \in V} A_v}{N} \tag{2}$$

である.

3.3 単一経路の場合のコンテンツ可用性

次に、単一の経路が与えられた場合 (K=1) の、ネットワーク障害時のコンテンツ可用性を導出する。この場合のコンテンツ可用性は、ネットワーク障害が発生した直後のコンテンツ可 用性に相当する.以下では、ノードvからコンテンツcを保有 するリポジトリまでの経路Pが与えられた時の,ノードvにお

けるコンテンツ c に対する可用性 $A_v^c(P)$ を考える. ノード v から送出されたコンテンツ c に対する要求パケット に対応する応答パケットが、経路 P における n 番目のノードから返送される確率を $\eta_v^c(P,n)$ と表記する. n 番目のノード(ルータもしくはリポジトリ)からコンテンツが返送されるのは、 経路 P 上の 1 番目から n-1 番目までのノードでキャッシュヒットせずに、n 番目のノードでキャッシュヒットする場合である。 従って、ノードv におけるコンテンツc に対するキャッ シュヒット率 $q_{c,v}$ を用いて,

$$\eta_v^c(P, n) = q_{c,P[n]} \prod_{i=1}^{n-1} (1 - q_{c,P[i]})$$
 (3)

である [4]. キャッシュ置き換えアルゴリズムが LRU (Least-Recently Used) や FIFO (First-In First-Out) である場合の, ネット ワーク中の各ルータにおけるキャッシュヒット率は MCA (Multi-Cache Approximation) アルゴリズム [11] などにより近似的に求

ネットワーク障害により (一部の) ノードが除去された後に、 経路 P において、1番目のノードから n番目のノードまでの経 路が確立されている確率 (1番目から n番目まで全てのノード が残存している確率) を $\rho(P,n)$ と表記すると, $\rho(P,n)$ は,

$$\rho(P, n) = \prod_{i=1}^{n} (1 - r_{P[i]}) \tag{4}$$

である.

ネットワーク中のノードが除去された後に、ノードvがコン テンツを正常に取得できるのは、経路P上における、ノードvからコンテンツ c を返送するノードまでの全てのノードが残存している場合である.このため,n 番目のノードからコンテン ツ $_c$ を返送する確率 $\eta_v^c(P,n)$ と、 $_n$ 番目のノードまで経路が確立されている確率 $\rho(P,n)$ を用いて、 $A_v^c(P)$ は以下のように与 えられる.

$$A_v^c(P) = \sum_{n=1}^{|P|} \eta_v^c(P, n) \, \rho(P, n) \tag{5}$$

以上から、単一の経路 (デフォルト経路) $\mathcal{P}_v^c[1]$ が与えられた 場合には、ノード v におけるコンテンツ c に対する可用性 A_v^c ($\mathcal{P}_v^c[1]$) である。 3.4 複数経路の場合のコンテンツ可用性

最後に、ノードからコンテンツを保有するリポジトリまでの 複数の経路が与えられた場合 $(K \ge 2)$ のコンテンツ可用性を導

ネットワーク障害後のネットワークにおいて,経路候補 \mathcal{P}_v^c に含まれるいずれかの経路を利用して,ノードv から送出されたコンテンツc に対する要求パケットがリポジトリ s_c に対する きる確率 (到達性) を $R_{c,v}$ と表記する. 本稿では、経路候補 \mathcal{P}_v^c におけるいずれかの経路がリポジトリに到達可能である場合に は、ノードvからコンテンツcに対する到達性があるとみなす。 経路候補における全ての経路のリポジトリへの到達性が失われている場合には、ネットワーク中のノードのキャッシュからコ ンテンツが返送される可能性を考慮した上で代替経路を適切に 決定する必要があるが、本稿では、簡単化のため、デフォルト

経路 ($\mathcal{P}_v^c[1]$) をそのまま使用するものとする. ネットワーク障害が発生した後に, k 番目の経路 P (= $\mathcal{P}_v^c[k]$) において、1番目のノードと |P|-1番目のノード (リポジトリに接続されているノード) を除くいずれかの中継ノードが除 去されている場合に、k+1番目の経路が代替経路の候補とな る. 中継ノード (経路 P における 2 番目から |P|-2 番目までのノード) が除去されることにより、経路 $P \in \mathcal{P}_v^c$ が分断され る確率 $\psi(P)$ は次式で与えられる.

$$\psi(P) = 1 - \prod_{i=2}^{|P|-2} (1 - r_{P[i]})$$
 (6)

ノードvにおけるコンテンツcに対する経路候補 \mathcal{P}_c^v におい T, 1からk-1番目の経路が全て分断されており、k番目の 経路が確立されている確率 $R_{c,v}^k$ は,

$$R_{c,v}^{k} = \phi(\mathcal{P}_{v}^{c}[k]) \prod_{i=1}^{k-1} \psi(\mathcal{P}_{v}^{c}[i])$$
 (7)

で与えられる.上式において, $\phi(P)$ は,経路 P が確立されている確率 (経路 P におけるいずれのノードも除去されない確率) であるため, $\phi(P) = \prod_{i=1}^{|P|} (1 - r_{P[i]})$ である.

ノードvにおけるコンテンツcに対する到達性 R_v^c は,経路候補 \mathcal{P}_v^c のうちいずれかの経路がリポジトリに到達できる確率 であるから,

$$R_{c,v} = \sum_{k=1}^{|\mathcal{P}_v^c|} R_{c,v}^k$$
 (8)

複数の経路が与えられた場合のコンテンツ可用性は,リポジ トリから返送されるコンテンツに対する可用性と、ノードのキャッシュから返送されるコンテンツに対する可用性によって 与えられる.リポジトリへの到達性がある場合には,コンテン ツ可用性は1である.一方,リポジトリへの到達性が失われている場合には,コンテンツ可用性は,デフォルト経路からリポジ トリを除いた経路に対するコンテンツ可用性に相当する. 従っ て、複数経路時のコンテンツ可用性 A_v^c は次式で与えられる.

$$A_v^c = 1 \times R_{c,v} + A_v^c(P^*) \times (1 - R_{c,v})$$
 (9)

ここで, P^* は,デフォルト経路である $\mathcal{P}_v^c[1]$ からリポジトリを 除いた経路である.

4 数 值 評 価

本節では、いくつかの数値評価により、ネットワーク障害の パターン・規模や、ネットワークの構造が情報指向ネットワー クにおけるネットワーク障害時のコンテンツ可用性に与える影 響を調査する.

本数値評価では、3 種類のネットワークトポロジ (ランダムネットワーク,ツリー状トポロジ,グリッドトポロジ)と、2 種類の ISP のネットワークトポロジ (ATT と GEANT) を用いた. 本数値評価に用いたネットワークの特性を表1に示す. 本稿で は、ノード間の距離を考慮したネットワーク障害のパターンを 対象とするため、3種類のネットワークトポロジでは、ノード を1×1の平面フィールドに配置することにより、ノード間の 距離を与えた

本数値評価で用いたネットワークの詳細はそれぞれ以下の通 りである.

ランダムネットワーク

ER (Erdős-Rényi) モデル [12] を拡張したネットワーク生成モデルを利用し、ノード間の距離に基づいたランダムネットワークを生成した.ノード数 N および平均時数 \overline{k} のランダムネッ トワークを以下の手順により生成する; (1) 平面フィールド上にN 個のノードを一様分布によりランダムに配置する; (2) 全ノー ドペア間の距離 d(u,v) を計算する; (3) $1/d(u,v)^{\theta}$ に比例する確 率でノードペア (u,v) をランダムに選択し、(u,v) 間にリンク を付与する; (4) リンク数が |E| (= $N\overline{k}/2$) になるまで (3) を繰り返す.ここで,手順 (3) における θ (0 \leq θ \leq 1) はノードペア間の距離による影響を調整するパラメータである. θ = 0 の場合には,ノードペアを等確率で選択するため,本ネットワーク 生成モデルは ER モデルと等価である.本数値評価では,ノード数 N=100,平均次数 $\overline{k}=4$ のランダムネットワークを生成 し, 生成されたネットワークのうち, 連結されたネットワーク のみを使用した.

ツリー状トポロジ

ツリーを基礎としたネットワークを以下の手順により生成し た; (1) 与えられた m に対して, 完全 m 分木を生成する; (2) 根

ランダムネットワーク ツリー状トポロジ (p=0.5) グリッドトポロジ

					4 ,	クリツトトホロン	AH	GEANI
	$\theta = 0$	$\theta = 0.5$	$\theta = 1$	m=2	m = 3	, , , , , , , ,		
ノード数	100	100	100	100	100	100	93	37
リンク数	200	200	200	144	143	180	155	58
平均次数	4.00	4.00	4.00	2.88	2.86	3.60	3.33	3.14
次数の標準偏差	2.06	1.76	2.00	1.21	1.31	0.57	4.58	1.88
平均経路長	2.75	2.39	2.57	3.36	2.47	5.82	2.27	1.90
クラスタリング係数	0.04	0.03	0.05	0.23	0.38	0.00	0.36	0.21

ノードをフィールドの中央に配置し,h 段目に位置するノードを半径 $(h-1)/h_{max}$ の円周状に等間隔で配置する; (3) ノード数が N になるまで, h_{max} 段目に位置する葉ノードをランダム に取り除くという操作を繰り返す; (4) リンク付与確率 p に基づいて,h 段目に位置する隣接ノード間においてリンクをランダ ムに付与する. p=0 の場合のツリー状トポロジは完全 m 分木 となる. 情報指向ネットワークの性能評価では, 完全 m 分木を一般的には用いる [13]. しかし, 本数値評価では, ノードからリポジトリに複数の経路が与えられた場合のコンテンツ可用 性に着目するため、p=0.5 のツリー状トポロジを用いた.

グリッドトポロジ

10×10の規則的な格子状のトポロジを用いた. グリッドト ポロジでは、ノード間の距離が等しくなるように全てのノード をフィールド上に配置する.

ISP ネットワークトポロジ

CAIDA (Center for Applied Internet Data Analysis) プロジェクト [14] が公開しているデータセットに含まれる ATT と, Internet Topology Zoo [15] における GEANT を使用した. 与えられたネットワークトポロジにおいて, 単一のリポジト

リを次数が最も高いノードに接続し、リポジトリには 1,000 種類のコンテンツを配置した。ただし、ツリー状トポロジの場合 には,ツリーの根に位置するノードにリポジトリを接続した. ネットワーク中のエンティティはリポジトリが保有するコンテ ンツに対して、コンテンツ要求を送出する。エンティティがコ ンテンツ $_c$ を要求するレート $_{\lambda_{c,v}}$ は、文献 $_c$ [5], $_c$ [10] で用いられ ている,パラメータ 0.8 の Zipf 分布で与えた

フードにおけるキャッシュ置き換えアルゴリズムは LRU とし、ノードのキャッシュサイズ B を 0–100 [content] と変化させた.与えられた条件下 (例: ネットワークトポロジやキャッシュサイズ) で、MCA アルゴリズム [11] を利用することにより、ノードッにおけるコンテンツ c に対するキャッシュヒット

ノードv からコンテンツc を保有するリポジトリまでの経路候補 \mathcal{P}_v^c は,ノードv からリポジトリまでの全経路において, 経路長が短い上位 K 本の経路を与えた. ただし, 経路長が同 -である経路が複数存在した場合には,ノードに割り当てられ た識別子に基づいて、使用する経路を選択した。本数値評価で は、K=3を用いた.

本稿では、2 通りのネットワーク障害パターン (ランダムなード除去とクラスタ型ノード除去) を対象とし、ノードvの 除去率 r_v を以下のように与えた.

ランダムなノード除去

ルータの故障を想定し、ネットワーク中のノードをランダム に除去する. 本数値評価では、ノードvの除去率 r_v を等しく r とした.

クラスタ型ノード除去

災害によるルータやリンクの破損を想定し、ネットワーク障 害の中心となるノードから半径 D の円内に位置する全てのノー ドを除去する. 本数値評価では、障害半径 D に対して、与え られたネットワークトポロジにおけるノードvの除去率 r_v を 以下のように計算した.まず,ネットワーク障害の中心である ノードuから半径Dの円内に位置するノード集合を V_u^D と表 記し、ノードvがノード集合 V_u^D に含まれているかを以下の二値関数によって表す.

$$\delta_u^D(v) = \begin{cases} 1 & \text{if } v \in V_u^D \\ 0 & \text{otherwise} \end{cases}$$
 (10)

二値関数 $\delta_u^D(v)$ を用いて、中心ノード u をネットワーク中の全ノードに変化させた時のノード除去の有無の平均を求めることによって、ノード除去率 r_v を与えた.

$$r_v = \frac{\sum_{u \in V} \delta_u^D(v)}{N} \tag{11}$$

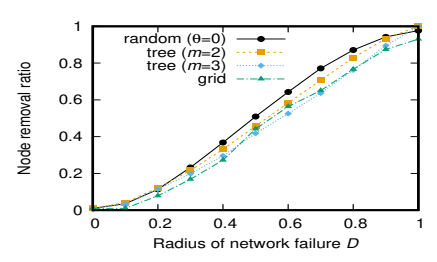


図1 ネットワーク障害の半径とノード除去割合の関係

クラスタ型ノード除去によって除去されたノードの割合と, ラ ンダムなノード除去におけるノード除去率との関係を確認する ため、クラスタ型ノード除去において、障害半径を変化させた 時のノード除去割合 (全ノードにおけるノード除去率 r_v の平 均)を図1に示す.

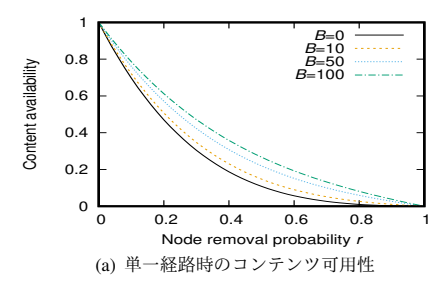
4.2 結

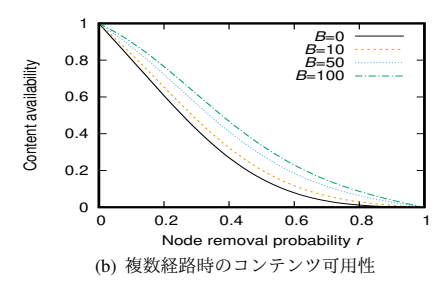
4.2.1 ランダムなノード除去に対するコンテンツ可用性まず,ランダムネットワーク $(\theta=0)$ における,ノード除去率を変化させた時のネットワーク全体のコンテンツ可用性を 図 2 に示す. 図 2(a) および図 2(b) は単一経路時のコンテンツ 可用性および複数経路時のコンテンツ可用性をそれぞれ示している。複数経路を利用することによりコンテンツ可用性がどの 程度改善されるかを明示的に示すため、図 2(c) に、コンテンツ 可用性の改善率 (複数経路時のコンテンツ可用性/単一経路時のコンテンツ可用性) を示している. これらの図中には、ノー ド (ルータ) のキャッシュサイズ B を変化させた時の結果を示 している.

図 2(a) および図 2(b) より,ノード除去率の増加に対して, ネットワーク全体の平均コンテンツ可用性は急激に失われる ことがわかる. また、ネットワーク可用性 (B=0 の時のコ ンテンツ可用性) と比較して、キャッシュサイズが大きい場合 (B=50 や B=100) には、ネットワーク全体の平均コンテン ツ可用性は大きく改善されるが、キャッシュサイズが小さい場 合 (B=10) には、コンテンツ可用性はほとんど改善されないことなどがわかる。さらに、図 2(c) より、ノードのキャッシュサイズに依らず、複数経路を利用することでコンテンツ可用性が改善されていることがわかる。これは、ノード除去によりデフォルト経路が分断されたとしても、ノードからリポジトリへの到達可能な代替経路を利用することで、コンテンツ可用性が 回復するためである. 情報指向ネットワークにおけるコンテン ツキャッシングにより,要求頻度が高い(人気度が高い)コンテンツはネットワーク中のノードから返送される可能性は高い. しかし、要求頻度が低い(人気度が低い)コンテンツは、当該コ ンテンツを保有するリポジトリから返送される可能性が高いため、代替経路を利用することによりリポジトリへの到達性が可 復することで、ネットワーク全体の平均コンテンツ可用性は改 善される.

4.2.2 クラスタ型ノード除去に対するコンテンツ可用性 ランダムネットワーク ($\theta=0$) における,障害半径を変化させた時のネットワーク全体のコンテンツ可用性を図 3 に示す.図 2 と同様に,単一経路時のコンテンツ可用性および複数経路 時のコンテンツ可用性を図 3(a) および図 3(b) にそれぞれ示す. また,複数経路によるコンテンツ可用性の改善率を図 3(c) に 示す.

図3より、障害半径の増加(つまり、ノード除去率の増加)に対して、ネットワーク全体の平均コンテンツ可用性は急激に失われていることがわかる。例えば、図1より、障害半径Dが 0.2である場合のノード除去割合は0.1程度であることがわかる. 従って,クラスタ型ノード除去の場合 (図 3) における D=0.2 のコンテンツ可用性と,ランダムなノード除去の場合 (図 2) における r=0.1 のコンテンツ可用性を比較すると,クラスタ型 ノード除去の場合のコンテンツ可用性の方が全体的に小さい.





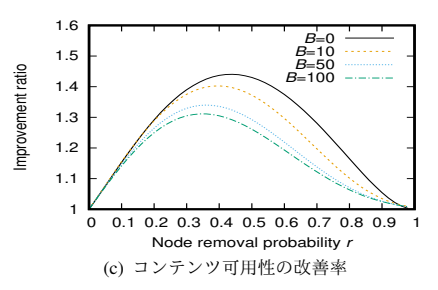
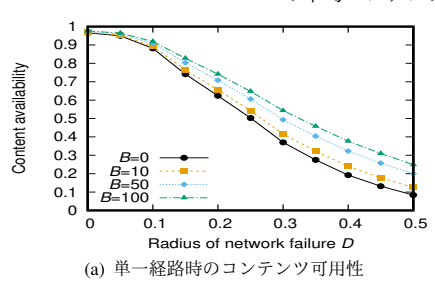
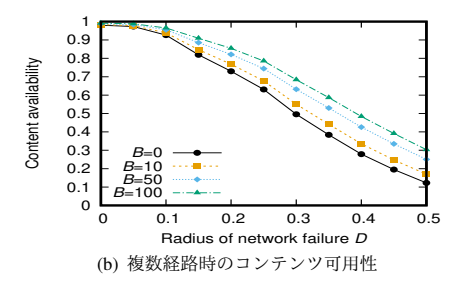


図 2 ランダムネットワーク ($\theta=0$) におけるノード除去率を変化させた時のネットワーク全体の平均コンテンツ可用性





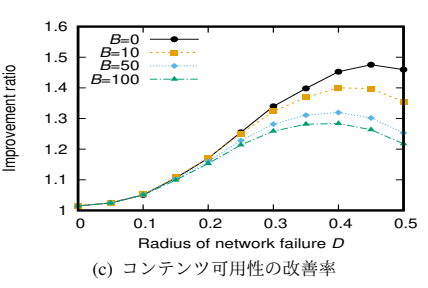


図 3 ランダムネットワーク ($\theta=0$) における障害半径を変化させた時のネットワーク全体の平均コンテンツ可用性

つまり、ノード除去率にばらつきがある方が、ネットワーク全体の平均コンテンツ可用性は失われやすい. ただし、ランダムなノード除去の場合と同様に、クラスタ型ノード除去においても、コンテンツキャッシングや、複数の経路を利用することにより、コンテンツ可用性が改善されている.

4.2.3 ネットワークトポロジがコンテンツ可用性に与える 影響

次に、ネットワークトポロジの構造がネットワーク障害時のコンテンツ可用性に与える影響を議論する。 図 4 および図 5 に、ノード除去率を変化させた時のネットワーク全体のコンテンツ可用性および障害半径を変化させた時のネットワーク全体のコンテンツ可用性をそれぞれ示す。これらの図中には、ネットワークトポロジを変化させた時の結果を示しており、図中の「random」、「tree」、「grid」はランダムネットワーク、ツリー状トポロジ、グリッドトポロジの結果をそれぞれ表している。ただし、ランダムネットワークにおいて、調整パラメータ θ を変化させた時の結果に十分な差はなかったため、 θ = 0 の場合の結果のみを「random」として図中に示している。

これらの結果から、ランダムなノード除去の場合には、m=2のツリー状トポロジおよびグリッドトポロジと、m=3のツリー状トポロジおよびランダムネットワークの間で、ネットワーク障害時のコンテンツ可用性に差があることがわかる。m=2のツリー状トポロジおよびグリッドトポロジは、他のネットワークと比較して、平均経路長が長いネットワークであるため、ノード除去により(デフォルト)経路が比較的分断されやすい、このため、m=2のツリー状トポロジおよびグリッドトポロジにおける単一経路時のコンテンツ可用性は比較的低くなっている。ただし、m=2のツリー状トポロジおよびグリッドトポロジにおける単一を強いサービーが大ポロジおよびグリッドトポロジでは、リポジトリに到達可能な複数の代替経路が存在するため、ノード除去率が低い場合や障害半径が小さい場合には、コンテンツ可用性が大幅に改善されている。

4.2.4 現実的な条件下におけるコンテンツ可用性

最後に、上述した傾向が現実の ISP のネットワークトポロジに対しても維持されるかどうかを示す。図 6 に、ATT および GEANT において、ノード除去率を変化させた時のネットワーク全体の平均コンテンツ可用性を示す。また、図 7 に、障害半径を変化させた時のネットワーク全体の平均コンテンツ可用性を示す。

これらの結果から、現実の ISP ネットワークトポロジに対しても、コンテンツキャッシングや、複数経路を利用することにより、ネットワーク障害時におけるネットワーク全体の平均コンテンツ可用性が改善されていることがわかる。ただし、ATTや GEANTでは、他のネットワーク (例: ランダムネットワーク)と比較して、複数経路を利用することによるコンテンツ可用性に対する恩恵は限定的であることがわかる。特に、ATTでは、高次数ノード(ハブノード)が存在することにより、ノードからリポジトリへの経路が特定のハブノードを通過する可能性

が高い.このため、複数経路を利用したとしても、コンテンツ 可用性は大きく改善されなかったと考えられる.

5 まとめと今後の課題

本稿では、文献 [4] の解析手法を拡張することによって、情報指向ネットワークにおけるネットワーク障害時のコンテンツ可用性を解析に導出した.具体的には、任意の情報指向ネットワークを対象とし、ノードからリポジトリの経路が単一もしくは複数である場合の、ネットワーク全体の平均コンテンツ可用性をそれぞれ解析的に求めた.さらに、いくつかの数値評価により、ネットワークの構造やネットワーク障害のパターン・機が情報指向ネットワークのコンテンツ可用性に与える影響を調査した.その結果、ネットワーク障害のパターンに依らず、ICN におけるコンテンツす中性が大幅に改善されることや、ラコンダムなノード除去と比較して、クラスタ型ノード除去の方がコンテンツ可用性が失われやすいことなどがわかった.

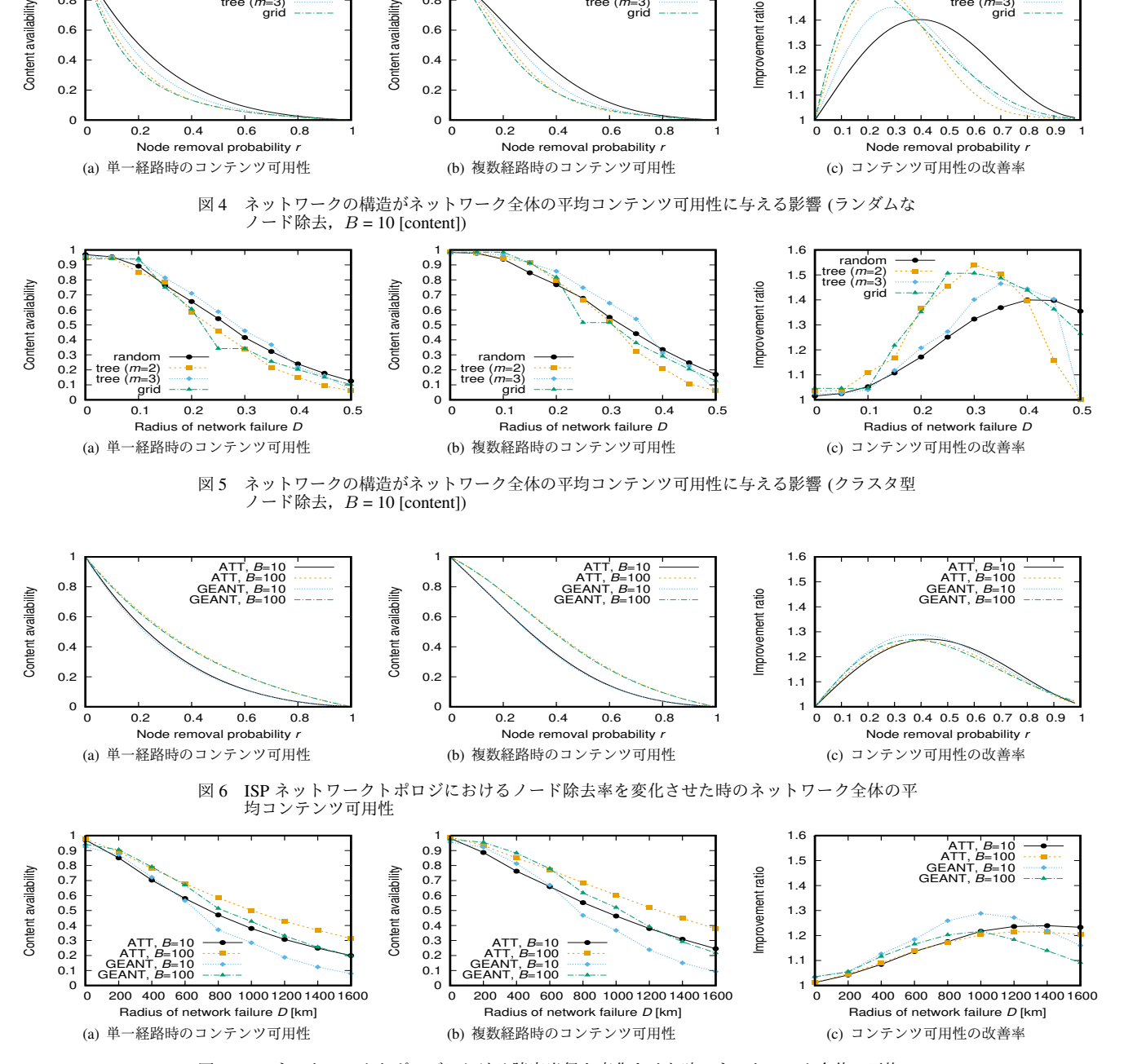
今後の課題として、大規模情報指向ネットワークにおけるネットワーク障害時のコンテンツ可用性の近似解析や、本解析手法を利用したキャッシング制御手法やルーティング制御手法の設計などが挙げられる.

謝辞

本研究の一部は JSPS 科研費 18K11283 の助成を受けたものである.

文 献

- [1] G. Xylomenos *et al.*, "A survey of information-centric networking research," *IEEE Communications Surveys & Tutorials*, vol. 16, pp. 1024–1049, 2014.
- [2] V. Jacobson, D. K. Smetters, J. D. Thornton, M. F. Plass, N. H. Briggs, and R. L. Braynard, "Networking named content," in *Proceedings of the 5th International Conference on emerging Networking Experiments and Technologies (CoNEXT 2009)*, pp. 1–12, Dec. 2009.
- [3] L. Zhang et al., "Named data networking," ACM SIGCOMM Computer Communication Review, vol. 44, pp. 66–73, July 2014.
- [4] R. Nakamura and H. Ohsaki, "Performance analysis of contentcentric networking on an arbitrary network topology," *IEICE Trans*actions on Communications, Special Section on Internet Technologies to Accelerate Smart Society, vol. E101-B, pp. 24–34, Jan. 2018.
- [5] E. Rietberg, L. D'Acunto, R. Kooij, and H. van den Berg, "Analyzing information availability in ICN under link failures," in *Proceed-*



0.8

図 7 ISP ネットワークトポロジにおける障害半径を変化させた時のネットワーク全体の平均コンテンツ可用性

ings of the 32nd International Conference on Information Networking (ICOIN 2018), pp. 199–204, Jan. 2018.

0.8

- [6] R. Albert, H. Jeong, and A.-L. Barabási, "Error and attack tolerance of complex networks," *Nature*, vol. 406, pp. 378–382, July 2000.
- [7] P. Holme, B. J. Kim, C. N. Yoon, and S. K. Han, "Attack vulnerability of complex networks," *Physical Review E*, vol. 65, pp. 056109–1–056109–14, May 2002.
- [8] A. K. M. M. Hoque, S. O. Amin, A. Alyyan, B. Zhang, L. Zhang, and L. Wang, "NLSR: Named-data link state routing protocol," in *Proceedings of the 3rd ACM SIGCOMM Workshop on Information-Centric Networking (ICN 2013)*, pp. 15–20, Aug. 2013.
- [9] V. Sourlas, L. Tassiulas, I. Psaras, and G. Pavlou, "Information resilience through user-assisted caching in disruptive content-centric networks," in *Proceedings of International Conference on IFIP Net*working 2015, pp. 1–9, May 2015.
- [10] N. Kamiyama, "Recovering content availability at failures in ICN,"

- in Proceedings of the 16th IFIP/IEEE Symposium on Integrated Network and Service Management (IM 2019), pp. 395–401, Apr. 2019.
- [11] E. J. Rosensweig, J. Kurose, and D. Towsley, "Approximate models for general cache networks," in *Proceedings of the 29th Conference* on *Information Communications (INFOCOM 2010)*, pp. 1–9, Mar. 2010.

1.5

- [12] P. Erdös and A. Rényi, "On random graphs I.," *Mathematicae*, vol. 6, pp. 290–297, Nov. 1959.
- [13] S. K. Fayazbakhsh et al., "Less pain, most of the gain: Incrementally deployable ICN," in *Proceedings of ACM SIGCOMM 2013*, pp. 147– 158, Aug. 2013.
- [14] "CAIDA." https://www.caida.org/data/. [accessed June 01, 2020].
- [15] S. Knight, H. X. Nguyen, N. Falkner, R. Bowden, and M. Roughan, "The internet topology zoo," *IEEE Journal on Selected Areas in Communications*, vol. 29, pp. 1765–1775, Oct. 2011.